

ЭКСПЕРИМЕНТАЛЬНАЯ ПРОВЕРКА  
ГИПОТЕЗЫ СКОБЕЛЬЦЫНА — БАЛДИНА  
О ВЫЛЕТЕ НЕСТАБИЛЬНЫХ ЧАСТИЦ ПРИ РАСПАДЕ  $^{214}\text{Bi}$   
Ю.Н.Покотиловский, Г.Г.Тахтамышев

Проведена экспериментальная проверка гипотезы<sup>/1,3/</sup> о возможности рождения с вероятностью ~10% при распаде  $^{214}\text{Bi}$  новой частицы ( $e^+e^-e^-$ ) с массой ~1,5 МэВ/ $c^2$  и временем жизни ~ $10^{-10}$  с, распадающейся на электрон и  $\gamma$ -квант. Методом измерения спектра электронов (в совпадениях с  $\gamma$ -квантами) от возможного распада таких частиц на лету установлен предел ~ $10^{-3}$  (уровень достоверности 90%) на вероятность появления такой частицы в распаде  $^{214}\text{Bi}$ .

Работа выполнена в Лаборатории нейтронной физики ОИЯИ.

Experimental Verification of Skobeltsyn — Baldin Hypothesis  
of the Emission of Unstable Particles on Decay of  $^{214}\text{Bi}$

Yu.N.Pokotilovskij, G.G.Takhtamyshev

The hypothesis was verified experimentally of about 10% probability of emission following  $^{214}\text{Bi}$  decay of the new particle having the mass >1.5 MeV/ $c^2$  and the lifetime  $\sim 10^{-10}$  s then decaying into an electron and  $\gamma$ -quantum. The limit of the emission of such particles following  $^{214}\text{Bi}$  decay was established to be  $\sim 10^{-3}$  at a confidence level of 90% by measuring electron spectra in coincidence with  $\gamma$ -quanta from the possible decay of these particles in their flight.

The investigation has been performed at the Laboratory of Neutron Physics,  
JINR.

Целью данной работы является проверка гипотезы<sup>/1/</sup> о возможности рождения в распаде RaC( $^{214}\text{Bi}$ ) резонансного состояния ( $e^+e^-e^-$ ) с массой  $m \geq 3m_e$  и временем жизни ~ $10^{-10}$  с, распадающегося на электрон и  $\gamma$ -квант. Эта гипотеза возникла в связи со следующими тремя обстоятельствами.

1. Не объяснены по сей день экспериментальные результаты Д.В.Скобельцына<sup>/2/</sup>, который наблюдал аномально большое и неупругое рассеяние  $\gamma$ -лучей из RaC на большие углы и позднее<sup>/3/</sup> интерпретировал свои наблюдения как рождение с вероятностью 7—12% при  $\beta$ -распаде RaC и распад на лету частицы с массой

$3m_e$  и временем жизни  $(2-5) \cdot 10^{-10}$  с на электрон и нейтральную частицу.

2. Узкие ( $e^+e^-$ ) пики в диапазоне эффективных масс  $1,6 \div 1,8$  МэВ наблюдались в последние годы в GSI (Дармштадт) при столкновении очень тяжелых ионов<sup>/4-6/</sup> при энергиях ниже кулоновского барьера, которые можно интерпретировать как распад неизвестных до сих пор квазисвязанных состояний ( $e^+e^-$ ).

3. Теоретические расчеты<sup>/7/</sup> в рамках квазипотенциального подхода для системы из двух фермионов привели к выводу о существовании богатого спектра релятивистских кулоновских уровней.

Схема эксперимента показана на рис. 1. Источник  $^{226}\text{Ra}$  (1) мощностью  $3,7 \cdot 10^5$  Бк располагался в свинцовом коллиматоре (6) внутри вакуумной камеры (4) (вакуум  $\sim 10^{-2}$  торр). Интенсивность источника по  $^{214}\text{Bi}$  определялась до и после измерений и контролировалась во время измерений. Толщина герметичного покрытия ( $\text{TiO}_2$ ) источника не превышала 0,3 мкм, что обеспечивало полный выход заряженных частиц из источника. Распады гипотетических ( $e^+e^-e^-$ )-частиц на распадной базе искали путем измерения спектра электронов при совпадении сигналов от электронного и  $\gamma$ -детекторов, в качестве которых использовались сцинтилляционный пластик размером  $\varnothing 78 \times 15$  мм (2) и сцинтиллятор  $\text{NaJ}(\text{Tl})$  размером  $\varnothing 150 \times 100$  мм (3) в коллиматоре  $\varnothing 95$  мм. Энергетическая калибровка электронного спектрометра производилась с помощью источников конверсионных электронов  $^{113}\text{Sn}$  ( $E_e = 363$  кэВ) и  $^{207}\text{Bi}$  ( $E_e = 972$  кэВ), а также по спектрам комптоновского рассеяния  $\gamma$ -лучей<sup>/8/</sup> из источников  $^{88}\text{Y}$ ,  $^{60}\text{Co}$ ,  $^{54}\text{Mn}$ . Энергетическое разрешение при  $E_e = 1$  МэВ составляло 50% (полная ширина на полувысоте). Эффективность  $\gamma$ -детектора в геометрии эксперимента измерялась с помощью стандартных  $\gamma$ -источников. Для поглощения гипотетических частиц при измере-

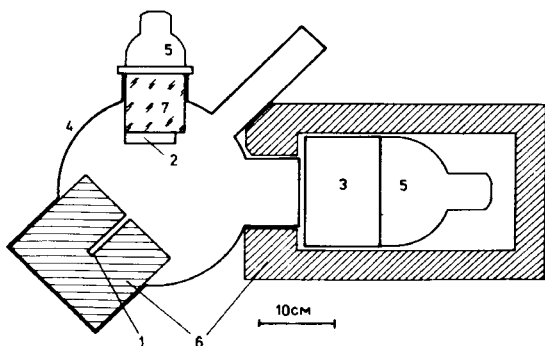


Рис.1. Схема эксперимента: 1 – источник  $^{226}\text{Ra}$ , 2 – пластический сцинтиллятор  $\varnothing 78 \times 15$  мм, 3 – сцинтиллятор  $\text{NaJ}(\text{Tl})$   $150 \times 100$  мм, 4 – вакуумная камера, 5 – ФЭУ, 6 – свинцовые коллиматоры и защита, 7 – световод из оргстекла

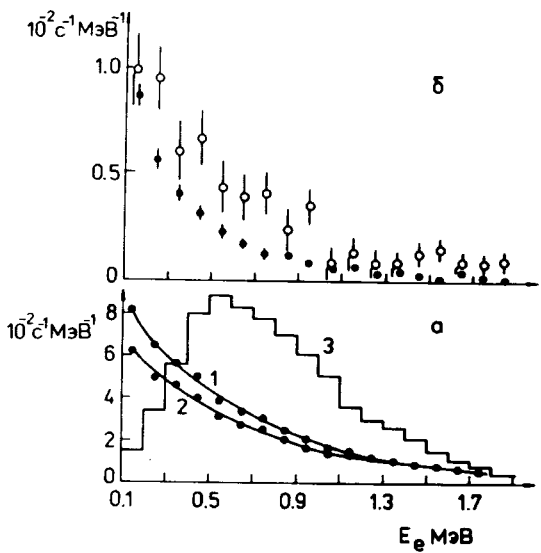


Рис.2. Спектры электронов при совпадениях с  $\gamma$ -квантами: а — измеренные без поглотителя (1) в пучке и с Al-поглотителем толщиной 4 мм (2); расчетный спектр (3); б — при случайных совпадениях с  $\gamma$ -квантами (точки) и разностный спектр (без поглотителя и с поглотителем) с учетом случайных совпадений (кружки)

( $E_{\max.} = 2,3$  МэВ). Измеренные электронные спектры (при совпадении с импульсом  $\gamma$ -детектора) с поглотителем и без него показаны на рис. 2,а соответственно кривыми 2 и 1 (точки соответствуют энергетическим интервалам по 100 кэВ, статистические погрешности меньше размера точек). Спектр случайных совпадений при измерениях без поглотителя и разностный спектр (за вычетом случайных совпадений) показаны на рис. 2,б точками и кружками соответственно.

Для сравнения экспериментальных данных с проверяемой гипотезой было проведено численное моделирование событий вылета из источника и распада гипотетических частиц на электрон и  $\gamma$ -квант. Моделирование было проведено для масс 1,5; 1,8; 2,0 МэВ/с<sup>2</sup>, времен жизни  $5 \cdot 10^{-11}, 10^{-10}, 3 \cdot 10^{-10}, 10^{-9}, 3 \cdot 10^{-9}$  с для трех различных спектров испускаемых ( $e^+e^-e^-$ )-частиц:

- а) фермиевский спектр  $N(E) \sim pE(E_0 - E)^2$ , где  $p$  — импульс,  $E$  — полная энергия частицы,  $E_0$  — энерговыделение при  $\beta$ -распаде;
- б) равномерный спектр по импульсу;
- в) равномерный спектр по скорости частицы; это распределение предполагалось в работе [3].

Распад частицы моделировался изотропно в системе покоя частиц, и отбирались события, в которых электрон и  $\gamma$ -квант попадали в соответствующие детекторы. Для отобранных событий строился спектр энергий электронов, причем учитывались эффективность и экспери-

ментальная фоновая спектральная плотность. Источник закрывался Al поглотителем толщиной 4 мм, который должен полностью тормозить заряженные частицы с массой больше  $3m_e$  в доступном энергетическом интервале

и при этом не вносить заметного вклада в спектр электронов.

ментальное разрешение спектрометра электронов ( $\Delta E \sim E^{1/2}$ ). Всего таким образом было проведено 45 вариантов моделирования (3 массы  $\times$  3 спектра  $\times$  5 времен жизни) при статистике  $10^5$  распадов частиц на просматриваемой детекторами распадной базе установки для каждого варианта. На рис. 2,а гистограмма 3 показывает один из результатов такого моделирования для комбинации параметров, предполагаемых в работе<sup>/3/</sup>: масса 1,5 МэВ, время жизни  $3 \cdot 10^{-10}$  с, спектр, равномерный по скорости, вероятность испускания частицы 10% на распад  $^{214}\text{Bi}$ . В соответствии с проверяемой гипотезой мы предполагали, что экспериментальный спектр  $N_1(E)$  описывается следующим выражением:

$$N_1(E) = (1 + \alpha)N_2(E) + \beta N_3(E),$$

где  $N_2(E)$  — экспериментальный спектр, измеренный с поглотителем,  $N_3(E)$  — расчетный спектр,  $\alpha$  — коэффициент, характеризующий изменение фона совпадений при измерениях с поглотителем,  $\beta$  — вероятность рождения гипотетической частицы на 1 распад  $^{214}\text{Bi}$ .

Близкое подобие экспериментальных спектров совпадений, измеренных без поглотителя и с Al-поглотителями толщиной 2, 4 и 8 мм, а также с Pb-поглотителем толщиной 7 см, позволило нам считать параметр  $\alpha$  не зависящим от энергии. Ограничение на вероятность  $\beta$  находилось путем минимизации  $\chi^2$  при варьировании параметров  $\alpha$  и  $\beta$  для 18 экспериментальных точек. Для всех испытанных вариантов минимальное значение  $\chi^2 = 13,5$  соответствовало  $\beta = 0$ . На рис.3 показаны типичные кривые зависимости  $\chi^2$  от  $\beta$ .

Ограничение с 90% уровнем достоверности в нашем случае соответствует значению  $\chi^2$ , на 4,6 превышающему минимальное значение  $\chi^2$  (величина 4,6 следует из распределения

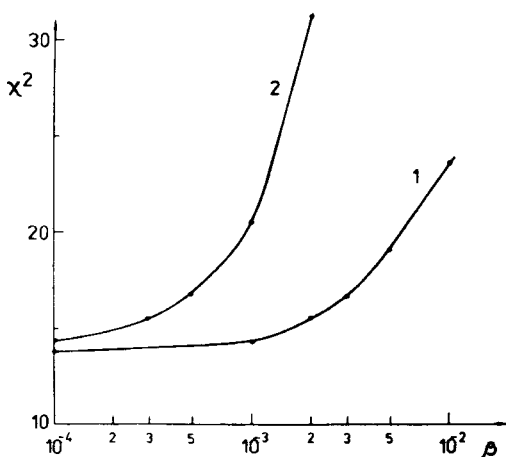


Рис.3. Зависимость  $\chi^2$  от вероятности рождения гипотетической частицы  $\beta$  при двух комбинациях параметров: 1 —  $m = 1,5$  МэВ,  $\tau = 5 \cdot 10^{-11}$  с, спектр равномерный по импульсу; 2 —  $m = 1,5$  МэВ,  $\tau = 3 \cdot 10^{-11}$  с, спектр Ферми

ния  $\chi^2$  для двух степеней свободы). В таблице приведены полученные ограничения на параметр  $\beta$ , соответствующие 90% уровню достоверности. При наших предположениях о форме спектра, массе и времени жизни относительная доля гипотетических частиц в распаде RaC не превышает 1%, а для гипотезы<sup>/1-3/</sup> ограничение составляет  $10^{-3}$ , что почти на 2 порядка ниже величины, приведенной в<sup>/1,3/</sup>.

Таблица. Ограничения на вероятность  $\beta (\times 10^3)$  рождения гипотетической частицы ( $e^+ e^- e^-$ ) в распаде  $^{214}\text{Bi}$  на уровне достоверности 90% при различных предположениях о массе  $M$ , времени жизни  $\tau$  и форме спектра испускаемых частиц

$\tau, \text{ с}$ $M, \text{ МэВ}$	$5 \cdot 10^{-11}$	$10^{-10}$	$3 \cdot 10^{-10}$	$10^{-9}$	$3 \cdot 10^{-9}$	Форма спектра частиц
1,5	3	1	0,7	1,5	5	Ферми
	4,5	1,5	1,25	4	4,5	Равномерный по импульсу
	7	3,5	1,8	3,5	6	Равномерный по скорости
1,8	3,5	0,8	0,5	0,7	2	Ферми
	4	0,9	0,5	1,3	3	Равномерный по импульсу
	8	3,5	1	2,5	3	Равномерный по скорости
2,0	5	0,8	0,3	0,6	1	Ферми
	4,5	0,8	0,5	0,7	2,5	Равномерный по импульсу
	8	2	0,8	1,5	2,5	Равномерный по скорости

Таким образом, вопрос о том, что же наблюдалось в экспериментах Скобельцына, следует считать открытым. В связи с этим нужно отметить, что в нашем эксперименте не проверялось предположение о возможности распада частицы на электрон и нейтральную нерегистрируемую частицу.

В заключение авторы выражают благодарность Л.Б.Пикельнеру и В.И.Фурману за поддержку работы, В.Г.Шумкову, А.А.Михайлову и В.Г.Рогозовцу за изготовление источников и С.Б.Борзакову за проведение контрольных измерений активности источников.

## Литература

1. Балдин А.М. — В сб.: Краткие сообщения ОИЯИ № 3 [42]-90, Дубна, 1990, с.4; Краткие сообщения по физике (ФИАН) № 6, 1990, с.42,

2. Скобельцын Д.В. — Известия АН СССР, сер. физ., 1938, 1-2, с.75; Степанова Е.Г. — Там же, с.91; Скобельцын Д.В. — ДАН АН СССР, 1938, 21, с.435.
3. Скобельцын Д.В. — В кн.: Памяти С.И.Вавилова, М.: Изд-во АН СССР, 1952, с.292.
4. Kienle P. — Nucl. Phys., 1988, A478, p.297.
5. Salabura P. et al. — Phys. Lett., 1990, B245, p.153.
6. Bokemeyer H., Koenig W. — Preprint GSI-91-45, 1991.
7. Арбузов Б.А. и др. — Письма в ЖЭТФ, 1989, 50, с.236.  
Arbuzov B.A. et al. — Phys.Lett., 1990, B240, p.477;  
Mod.Phys.Lett., 1990, A5, p.1441.
8. Dietze G., Klein K. — NIM, 1982, 193, p.549.

Рукопись поступила 10 февраля 1992 года.